

Землетрясения Северного Тянь-Шаня

сения, равная 5–6 баллам, отмечена в пос. Ленинском. Здесь был слышен гул, похожий на шум, который возникает от движения снежных лавин или падения камней с гор. Во многих жилых домах и постройках обсыпалась штукатурка, в некоторых зданиях появились тонкие волосистые трещины в угловых сопряжениях стен. На штукатурке ряда старых построек обнаружены трещины шириной от 1 до 2 мм и длиной 10–20 см. В конюшне с земляным потолком сломалась банка. В пределах эпицентральной зоны жители опустили сильный вертикальный толчок. Сидящие люди чувствовали себя как на грузовике, идущим по плохой дороге. Сильно качались висячие предметы, скрипели потолки и двери, звенели оконные стекла, дрожала мебель. Сведения об ощущении этого землетрясения приведены в табл. 6 и на рис. 5.

Глубина очага по макросейсмическим данным $h_I = 15$ км и $h_{IM} = 22$ км.

В зоне глубоких памиро-гиндукушских землетрясений в этом году известны данные о двух сильных землетрясениях. Перенесены пункты, в которых они ощущались, приведены ниже. Землетрясение 3 марта (№ 17) ощущалось в Хороге (125 км): Кокуле (136), Кызылсу (149), Гиссаре, Пархаре (150), Кульбе (165), Китабе (435) – 3–4 балла; в населенных пунктах: Дахане (135), Джараиль, Карайчук (150), Советском (189), Нуреке (238), Душанбе (274), Мираки (413), Пелджикенте (420) и Самарканде (470) – 3 балла; Чубеке (140), Ленинабаде (417), Ташкенте (535) – 2–3 балла. Землетрясение 9 апреля (№ 23) с $K = 13$, произошедшее в Язгудемском хребте, ощущалось в Обливарме (240 км) силой 3–4 балла, Токтамыше (200), Кульбе (232), Андижане (236), Сумокте (310) – 3 балла; в Хороге (107), Нуреке (267), Душанбе (313), Кургандепе (315), Ташкенте (433) и Самарканде (495) – 2–3 балла.

ЛИТЕРАТУРА

1. Землетрясения в СССР в 1969 году. М.: Наука, 1973.
2. Землетрясения в СССР в 1970 году. М.: Наука, 1973.
3. Землетрясения в СССР в 1973 году. М.: Наука, 1976.
4. Уломов В.И. Динамика земной коры и прогноз землетрясений. Ташкент: Фан, 1974.

В 1975 г. в Северо-Тянь-Шанской зоне наблюдения осуществлялись однодневные сейсмические станции: Алма-Ата, Центральная сейсмическая станция, Курметты, Чилик, Кзыл-Агач, Галды-Курган, Илия, Фабричная, Курты, Джалбул и Чимкент.

Сейсмическая станция Курты в связи с переводом на новое место в августе 1975 г. была закрыта. Станция Алма-Ата была переведена в другое здание, в связи с чем не работала с марта по октябрь 1975 г. На станции установка СК + ГК-7 была заменена на СКМ-3 + ГБ-3 с увеличением 10 000 на всех составляющих. Ширина столообразной части характеристики составляет так же, как и на аналогичных установках других станций, 0,2–1,8 с.

В мае 1975 г. вновь открыта сейсмическая станция Чимкент. Вместо одного комплекта СК + ГК-7 установлены СКМ-3 + М-31 и СКД + ГК-7 с одинаковым увеличением 1000. Ширина столообразной части характеристики составляет 0,2–1,8 и 1,2–1,8 с соответственно.

С 1 августа 1975 г. открыта новая сейсмическая станция в Талды-Кургане, где работают три установки: СКМ-3 + ГК-7 с увеличением 10 000 для регистрации местных, СКД + ГК-7 с увеличением 1000 для далеких и СМГР, СБМ для сильных и разрушительных землетрясений. Приборы установлены на песчано-глинистых отложениях [1].

На станции Фабричная с июня 1975 г. увеличение на всех составляющих поднято до 30 000. На других сейсмических станциях основные параметры работающей аппаратуры не изменились.

Определение координат эпицентров проводилось с использованием палеток изохрон, для некоторых участков применялись способы Вадати и Исикава, позволяющие одновременно с координатами эпицентра определить и глубину очагов. Точность определения глубины различна для разных эпицентрических зон: для центральной части хребта Залийский Алатай ±3 км, для восточного погружения хребтов Залийский и Конгей-Алатау ±5–6 км.

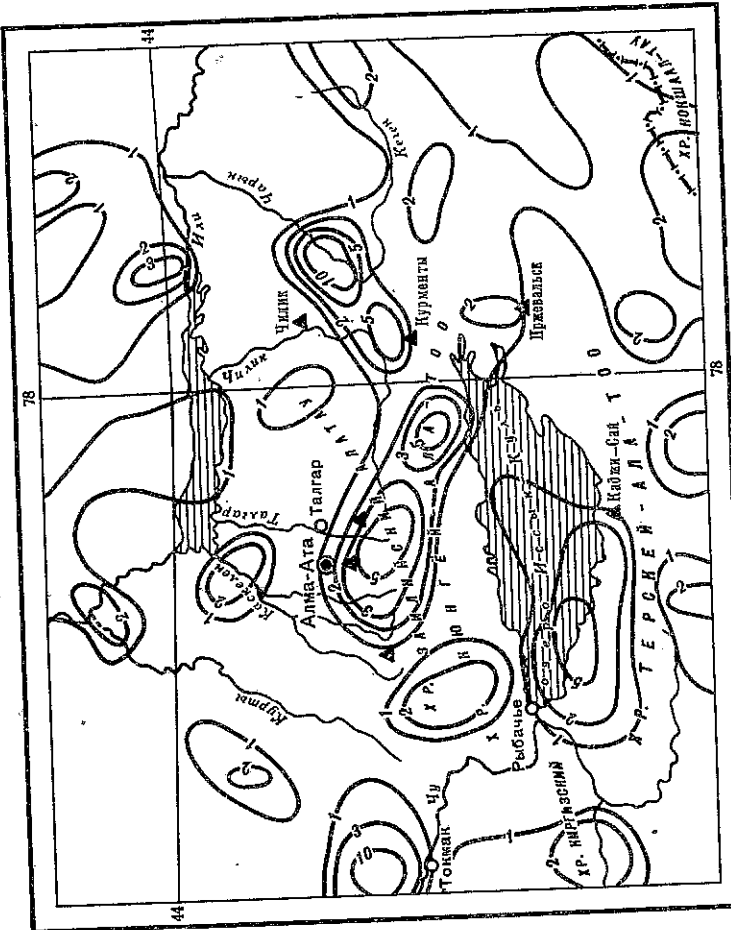
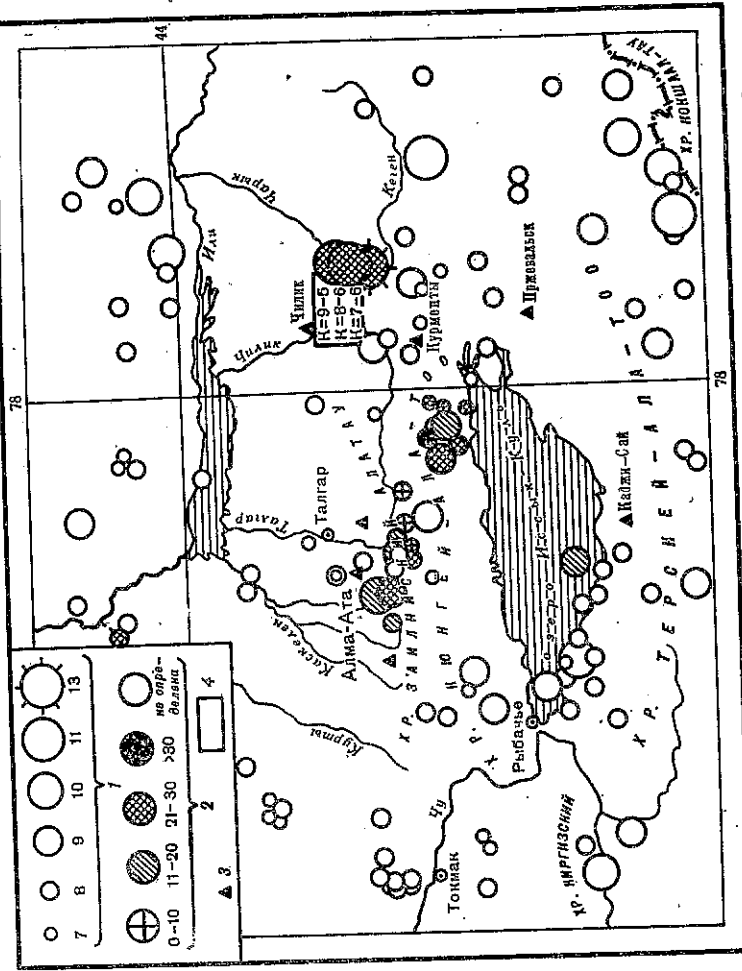
Энергетическая классификация по K проводилась по номограмме Раутман [2]. В пределах изучаемой зоны в этом году были определены основные параметры для 140 землетрясений. Распределение их по энергетическим классам приведено ниже:

	K	7	8	9	10	11	12	13
N	32	72	24	8	3	—	1	

Макросейсмические данные о землетрясении 12 февраля

Пункт	Условный номер	Эпикентральное расстояние	Пункт	Условный номер	Эпидицентрическое расстояние
6 баллов					
Зимовка без названия севернее Тасбазы	1	5	Тук	31	59
Зимовка Тасбазы	2	10	Чунджа	35	65
Зимовка Тургайтыр	3	15	Урюкты	37	69
Алгабас	6	22	Текес	50	121
Зимовка Карасай	8	28	Талды-Су	32	62
Баргояй	4	18	Кенсу	34	64
Саты	18	39	Сарыкжаз	43	84
5–6 баллов					
Коктек	5	20	Тургень	45	92
Гидропост	7	28	Балтабай	47	98
Узунбулак	9	28	Талгар	49	121
Жаланаш	12	34	Новомолексеевка	51	123
Тогызбулак	13	35	Большой Кетмень	53	132
Жинчик	17	39	Алма-Ата	54	144
Кобы	19	42	Узлы-Агач	59	194
Зимовка Томарсаз	21	44	3 балла		
4–5 баллов					
Малыйбай	10	32	Киргизский	33	64
Аксарай	14	35	Аул	36	65
Оксюбрь	15	38	Соколовка	39	74
Гайрат	16	38	Нововонненовка	40	81
Масак	22	45	Орлиное	41	81
Курметты	23	46	Сарыкамыш	44	89
Чилик	24	50	Пржевальск	46	96
ст. Курменты	25	50	Анзакео	48	108
Кегенъ	26	52	Капчагай	55	149
Курам	27	53	Чолпон-Ата	56	151
Каратурк	29	59	Каскелен	57	170
Кутугра	30	59	ст. Чемолган	58	170
Тюп	38	71	2–3 балла		
4 балла					
Винсовхоз	20	43	Рыбачье	61	225
Таусугурский	28	56			

Рис. 1. Карта эпицентров землетрясений Северного Тянь-Шаня за 1975 г.
 1 — энергетический класс K ; 2 — глубина очагов в км; 3 — сейсмические станции; 4 — площадь, на которой произошло указанное число землетрясений определенного энергетического класса



5-4 837

Рис. 2. Карта плотности эпицентров землетрясений за 1973–1975 гг.

Общее число землетрясений в 1975 г. на 54% больше, чем в 1974 г., что связано с возрастным числом зарегистрированных землетрясений с $K = 7$ и 8.

На рис. 1 представлена карта эпицентров землетрясений, где можно выделить три зоны повышенной сейсмической активности. Первая активная зона — восточное окончание хребта Заилийский Алатыр, где произошло землетрясение 13-го энергетического класса. Эпицентр его приурочен к горам Турайтыр, в связи с чем будем называть это землетрясение Турайтырским. Эпидицентральная зона этого землетрясения совпадла с эпицентрической зоной сильного разрушительного Чилийского землетрясения 1889 г. [3] ($I = 9 \div 10$ баллов). В 1971—1974 гг. эта зона не выделялась высокой сейсмической активностью. Так, в 1973 г. здесь не было ни одного землетрясения с $K \geq 7$, в 1974 г. произошло два землетрясения с $K = 7$ и 9, причем последнее почти за полгода до Турайтырского землетрясения [4]. В течение 1975 г. здесь отмечено 21 землетрясение, включая основной толчок.

Вторая активная зона — центральная часть хребта Заилийский Алатыр, южнее Алма-Аты. В 1968—1972 гг. этот участок был асейсмичным. В 1973 г. здесь произошло 5 землетрясений. В 1974 г. на этом участке отмечено уже 11 землетрясений с $K = 7 \div 9$. В 1975 г. зарегистрировано 15 землетрясений, самое сильное из которых с $K = 10$, происшедшее 4 января 1975 г., опущалось в Алма-Ате с интенсивностью 3—4 балла. Группка эпицентров землетрясений 1975 г. характеризуется довольно четко выраженной тенденцией к концентрации эпицентров вдоль полосы северо-западного — юго-восточного простирания, сжимающей хребет Заилийский Алатыр. Северная часть полосы выходит в очаговую зону катастрофического 9-балльного Веринского землетрясения 1887 г. На юго-востоке эту полосу "продолжают" эпицентры землетрясений, происшедших в хребте Кюнгей-Ала-тоо. Здесь также отмечается четкое группирование эпицентров локальной области, расположенной на северном берегу озера Иссык-Куль.

Третья активная зона — юго-западное побережье озера Иссык-Куль (14 эпицентров с $K = 8 \div 10$). Несколько землетрясений с $K = 10 \div 11$ зарегистрировано в хребте Кокшал-Тай. Несколько землетрясений с $K = 9 \div 10$ также отмечено в зоне Джунгарского Алатыр.

На рис. 2 представлена карта плотности эпицентров, на которой хорошо выделяются области наибольшего сгущения эпицентров в районе хребтов Заилийского и Кюнгей-Ала-тоо, протягивающиеся поперек хребтов и на юго-западном берегу Иссык-Кулья.

В целом изучение сейсмичности зоны Северного Тянь-Шаня в 1975 г. позволяет говорить о некотором оживлении ее сейсмической деятельности.

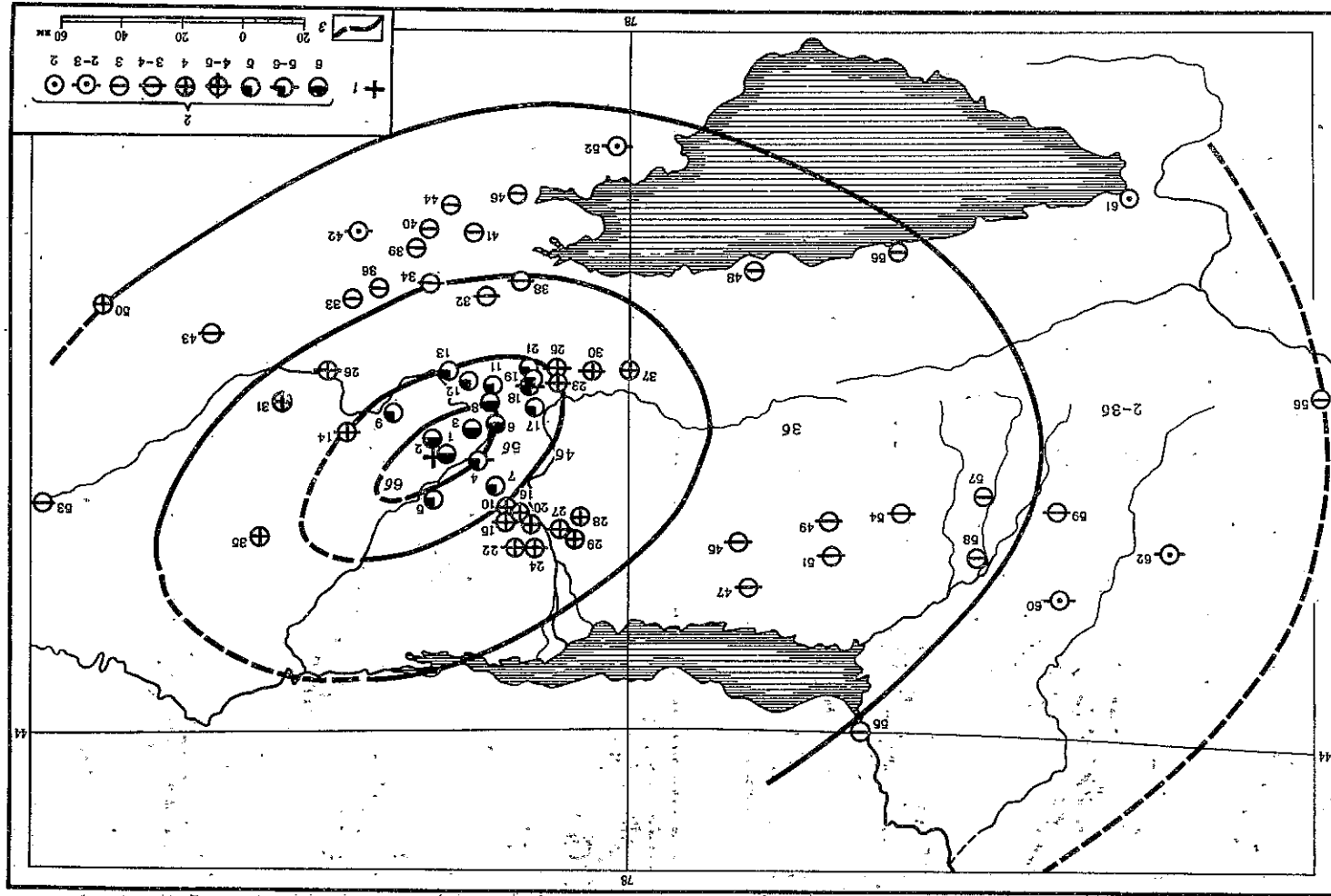
Рассмотрим подробнее Турайтырское землетрясение 12 февраля 1975 г. Было проведено макросейсмическое обследование его последствий, а также изучение пространственно-временных закономерностей его афтершоковой деятельности.

В макросейсмическом обследовании принимали участие А.Д. Досымов, А.Б. Осанов, Б.Д. Джумагалиев и А.С. Нурмагамбетов.

Вблизи эпицентра крупные населенные пункты отсутствовали. Наиболее близко к нему располагались зимовки чабанов. Так, в зимовке Тасбазы упали дымоходные трубы. На одной крыше кирличная труба пробила шифер, жители зимовки выбежали из домов. С севера отменили резкий удар с гулом. В домах из бутобетона образовались сквозные трещины в стенах, в каракасном доме — трещины в штукатурке до 3 мм. По рассказам чабанов, в горах Турайтыр наблюдались камнепады,

Рис. 3. Карта изосейстов Турайтырского землетрясения 12 февраля 1975 г. Составили: А.Д. Досымов, А.Б. Осанов.

1 — эпицентр; 2 — баптность; 3 — изосейсты



По временному ходу можно выделить четыре группы толчков, разделенных различными временными интервалами — затишьями, во время которых афтершоки с $K \geq 7$ не зарегистрированы.

В первую группу входят толчки, происшедшие в первые четверо суток после главного толчка. Вторая группа может быть разделена на две подгруппы, а именно: 10–12 и 13–15. Афтершоки третьей группы разделены между собой значительными временными интервалами. Четвертая группа как бы начинает новый годовой цикл.

На карте эпицентров афтершоков выделено четыре "пространственные" зоны их проявления. "Пространственные" зоны имеют соответствие с "временными" группами афтершоковой деятельности. Исключение составили землетрясения № 7 и 18, которые "выскочили" на северо-запад из зон I и III соответственно. Эти толчки характеризуются и большими глубинами: $h = 38$ и 30 км. Землетрясение № 10 "ушло" из зоны II на юг.

Каждую зону можно охарактеризовать преимущественной глубиной очагов. Так, для зоны I — это 21–25 км, для зоны II — 26 км и более, для зоны III — глубина очагов та же, как и у главного толчка. Эта зона простирается на северо-запад из эпицентра. Характеристика зоны IV представляется неоднозначной, так как процесс в ней к моменту написания данной работы еще не завершился.

Наиболее сильные из афтершоков — это толчки № 17 ($K = 11$) и № 19 ($K = 10$). Они произошли в краевой восточной части всей зоны афтершоков — в зоне III — и явились завершающими в первом "годовом цикле".

Интересно отметить, что линия миграции афтершоков всегда идет против часовой стрелки. Подобная картина была замечена и по афтершокам Ташкентского землетрясения 1966 г.

Описанная четкая дифференциация проявления афтершоков во времени и соответствующая ей пространственная их дифференциация, закономерности миграции афтершоков и возможность годового цикла временного хода представляют определенный интерес для изучения процессов в очаге землетрясения.

ЛИТЕРАТУРА

1. Остапов А.Б., Джумагалиев Б.Д. Сейсмическая станция Талы-Курган. — Информационный сборник ИГН АН КазССР, 1976.
2. Раутлан Т.Г. Затухание сейсмических волн и энергия землетрясения. — Статьи и доклады АН ТаджССР, 1960, № 7.
3. Новый каталог сильных землетрясений на территории СССР с древнейших времен до 1975 г. Под ред. Н.В. Кондратской. Н.В. Шебалина. М.: Наука, 1977.
4. Уразаев Б.М., Остапов А.Б., Михайлова Н.Н. Землетрясение Северного Тянь-Шаня. — В кн.: Землетрясения в СССР в 1974 году. М.: Наука, 1977.

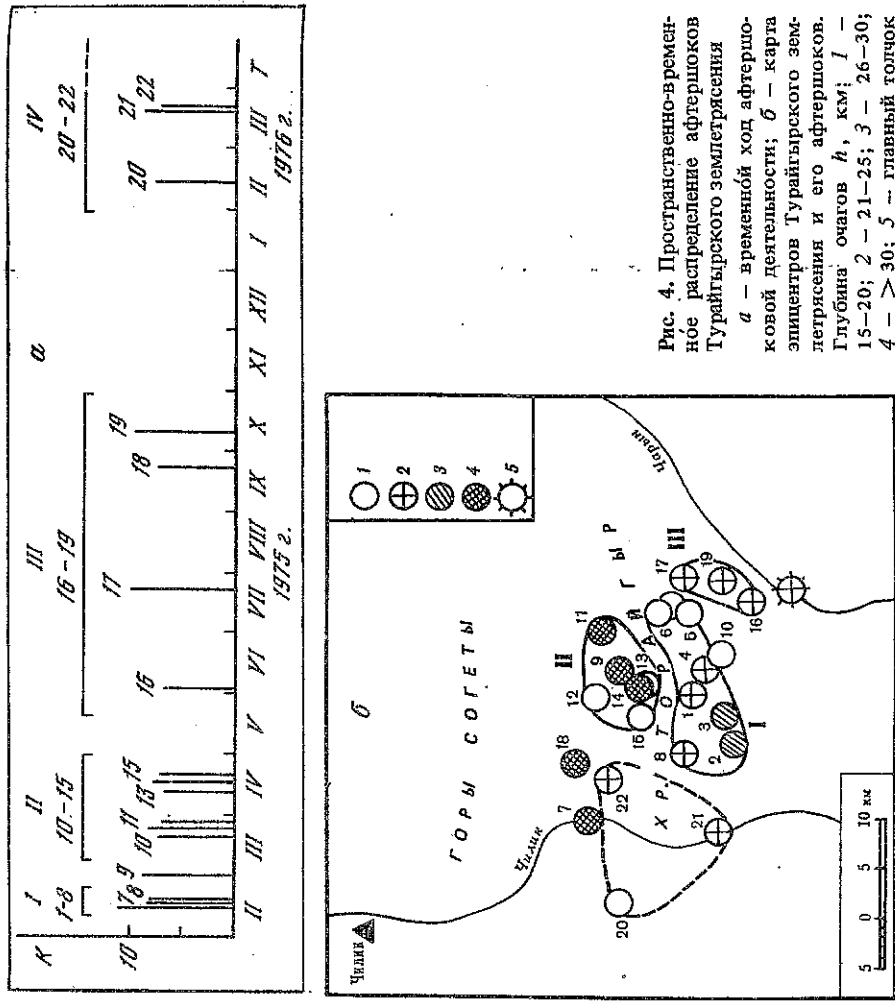


Рис. 4. Пространственно-временное распределение афтершоков Турайтырского землетрясения
а — временный ход афтершоков землетрясения; б — карта эпицентров Турайтырского землетрясения и его афтершоков.
Глубина очагов h , км; 1 — 15–20; 2 — 21–25; 3 — 26–30;
4 — > 30 ; 5 — главный толчок

В некоторых местах отмыки, которые перекрыли дороги на зимовки. В пос. Бартогай и Саты слышался сильный гул с резким толком. Землетрясение ощущалось всеми. Возникли небольшие трещины в штукутурке в каманных домах. Во время землетрясения скрипели полы, двери, ссыпалось дребезжание оконных стекол, посуды. В пос. Жаланы слышали гул. Землетрясение ощущалось всеми жителями. Многие рубленые деревянные дома скрипели, некоторые жители в испуге выбегали из домов. Повсеместно отмечалось раскачивание тяжелых предметов, звон стекол и посуды. Наблюдалась также трещинность землетрясения в обследованных населенных пунктах.

По данным таблицы построена карта изосейст (рис. 3). Глубина очага, оцененная по макросейсмическим данным, равна 12 км. При изучении афтершоков этого землетрясения координаты определялись способами Вадаги и Искава. В результате комбинации этих, а также других методов точность определения эпицентров в отдельных случаях достигала ± 2 –3. Максимальная ошибка составляла ± 5 –6 км. Такая же ошибка наблюдается в определении глубины очага.

На рис. 4, а представлены временный ход афтершоковой деятельности и энергии толчков, на рис. 4, б — эпицентры основного толчка и его афтершоков, а также их глубины. Гумерация проводилась согласно порядку их проявления.